

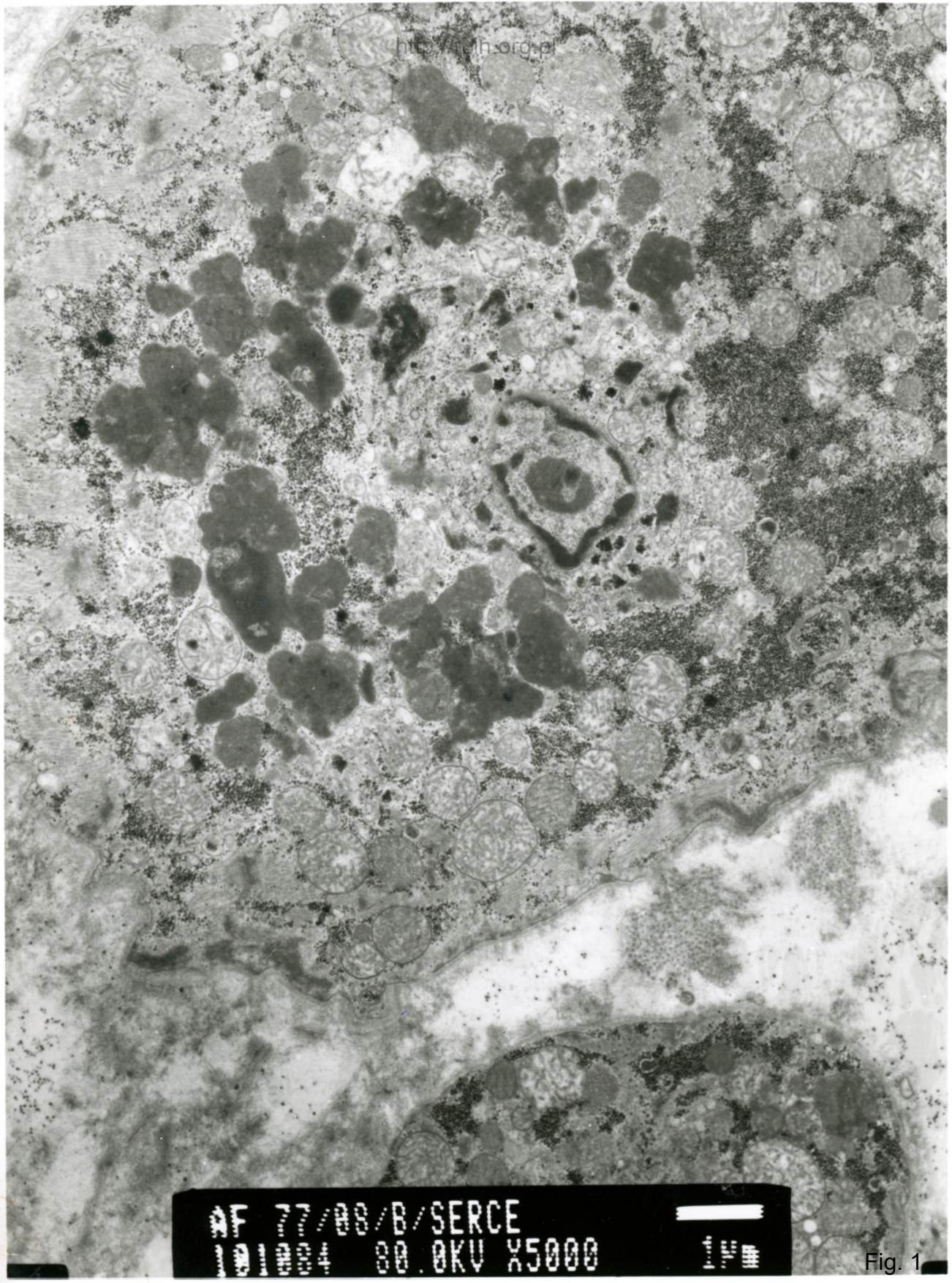
77/08

Niedomykalność zastawki dwudzielnej i trójdzielnej. Ceroidolipofuscynoza

Analiza ultrastrukturalna wykazała licznie występujące w kardiomiocytach depozyty osmofilnego, granularnego materiału (Fig. 1,2,3,4). Materia ten otoczony był błoną (Fig.5,6,7). W tych samych depozytach obserwowano wakuole lipidowe (Fig.8,9,10). Charakterystyczne ziarniste depozyty obecne były również w pobliżu mitochondriów lub na ich obszarze (Fig. 11,12,13). W karioplazmie widoczne były liczne ciała mielinopodobne (Fig. 14,15). Jądra kardiomiocytów w badanym materiale charakteryzowały się nieregularnym kształtem i licznymi wgłobieniami w otoczce (Fig. 16,17). Często otoczka jądrowa była przzerwana (Fig. 18).

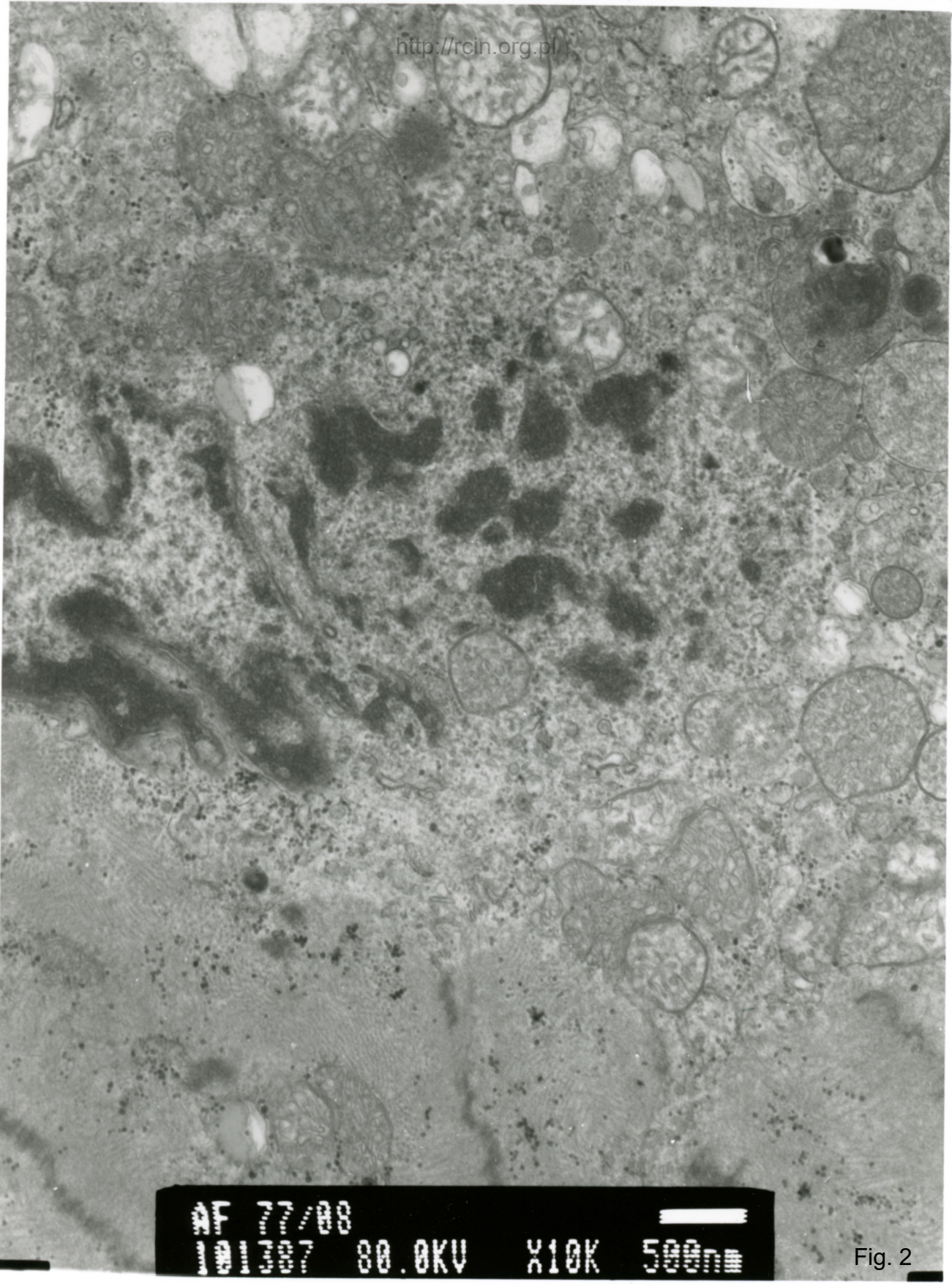
Mitral and tricuspid valve regurgitation. Ceroidolipofuscinosis

Ultrastructural analysis revealed the presence of abundant osmophilic granular material deposits in cardiomyocytes (Figs. 1,2,3,4). This material was surrounded by a membrane (Figs. 5,6,7). Within these deposits lipid vacuoles were observed (Figs. 8,9,10). Characteristic granular deposits were also present in the vicinity or inside the mitochondria (Figs. 11, 12, 13). Numerous myelin-like bodies were visible in the karyoplasm (Figs. 14, 15). Cardiomyocyte nuclei in the examined material were characterized by an irregular shape and numerous invaginations in the nuclear envelopes (Figs. 16, 17). Ruptures of the nuclear envelopes were often observed (Fig. 18).



AF 77/88/B/SERCE
191984 80.0KV X5000

Fig. 1



AF 77/08

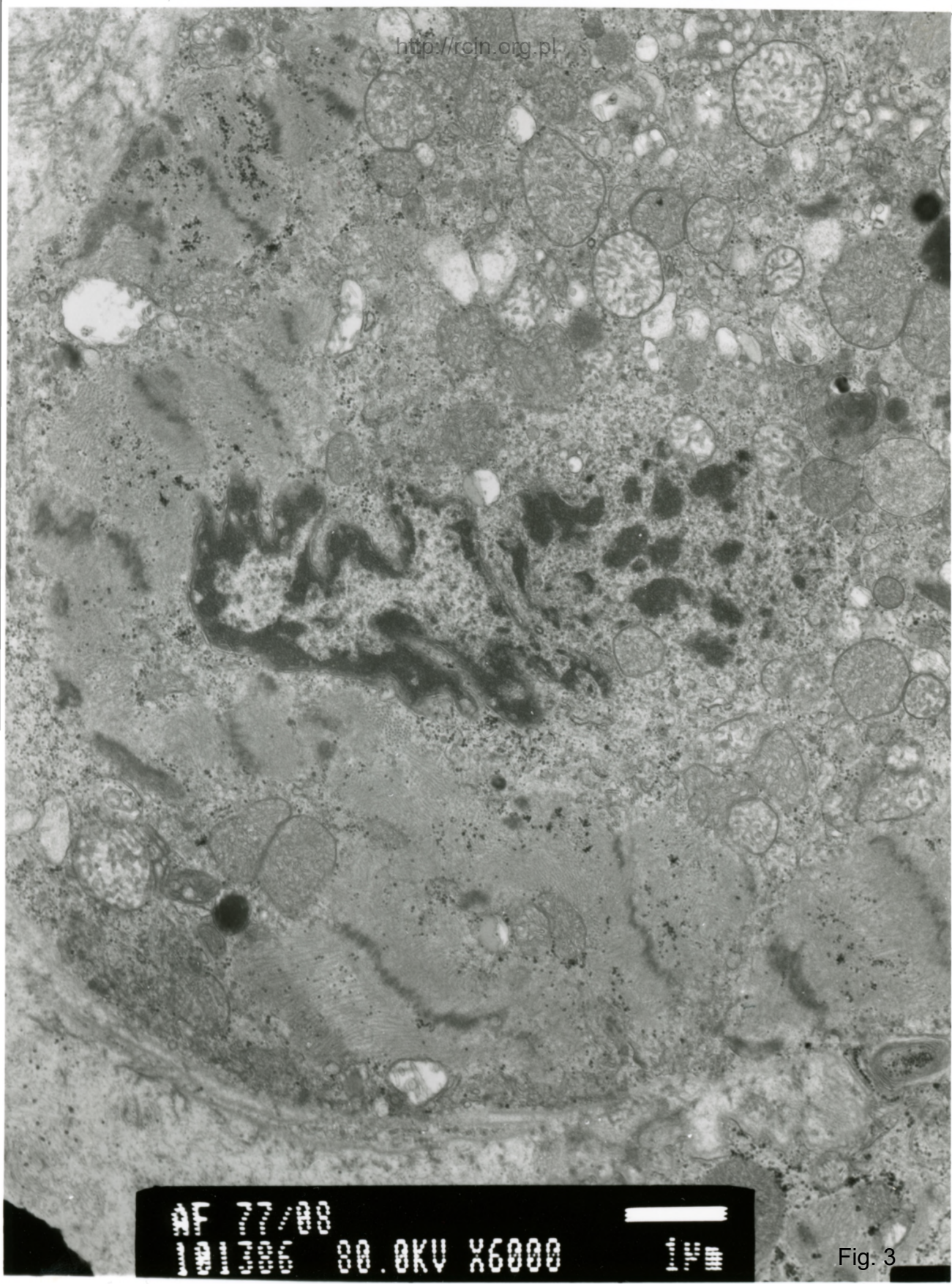
1011287

80.0KV

X10K

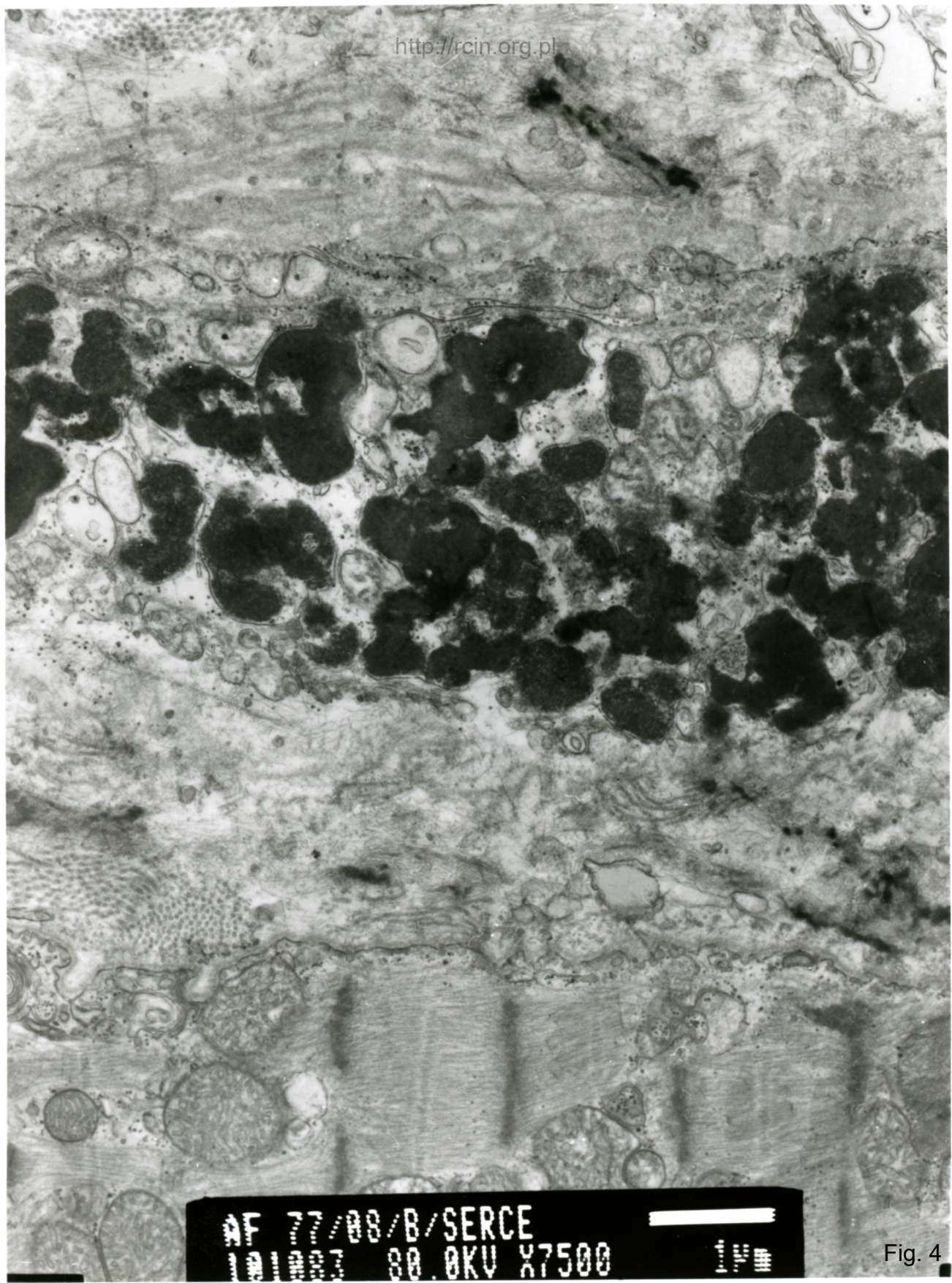
500nm

Fig. 2



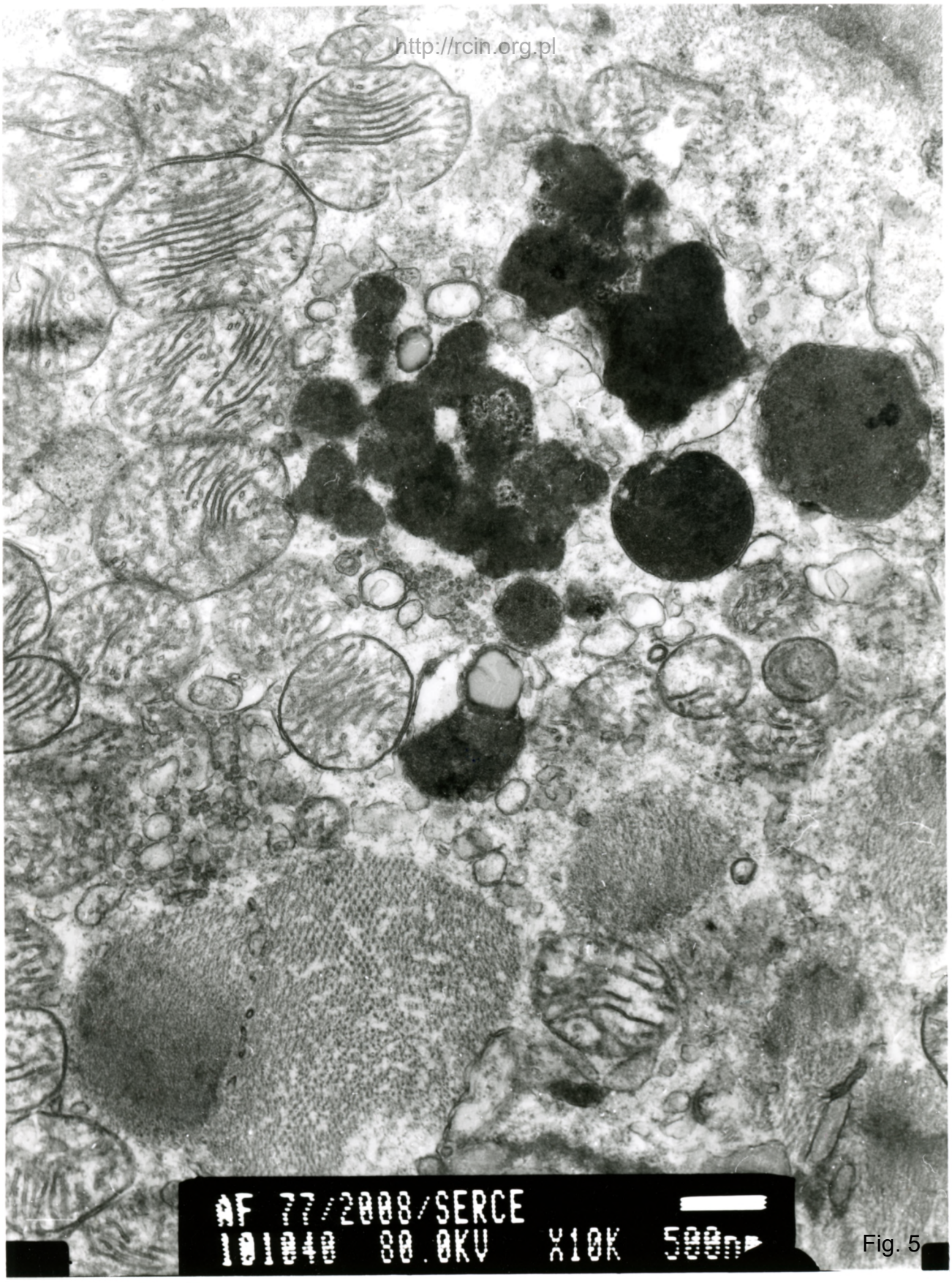
77/08
3001 80.0KV X6000

Fig. 3



AF 77/08/B/SERCE
10/003 80.0KV X7500

Fig. 4



AF 77/2008/SERCE

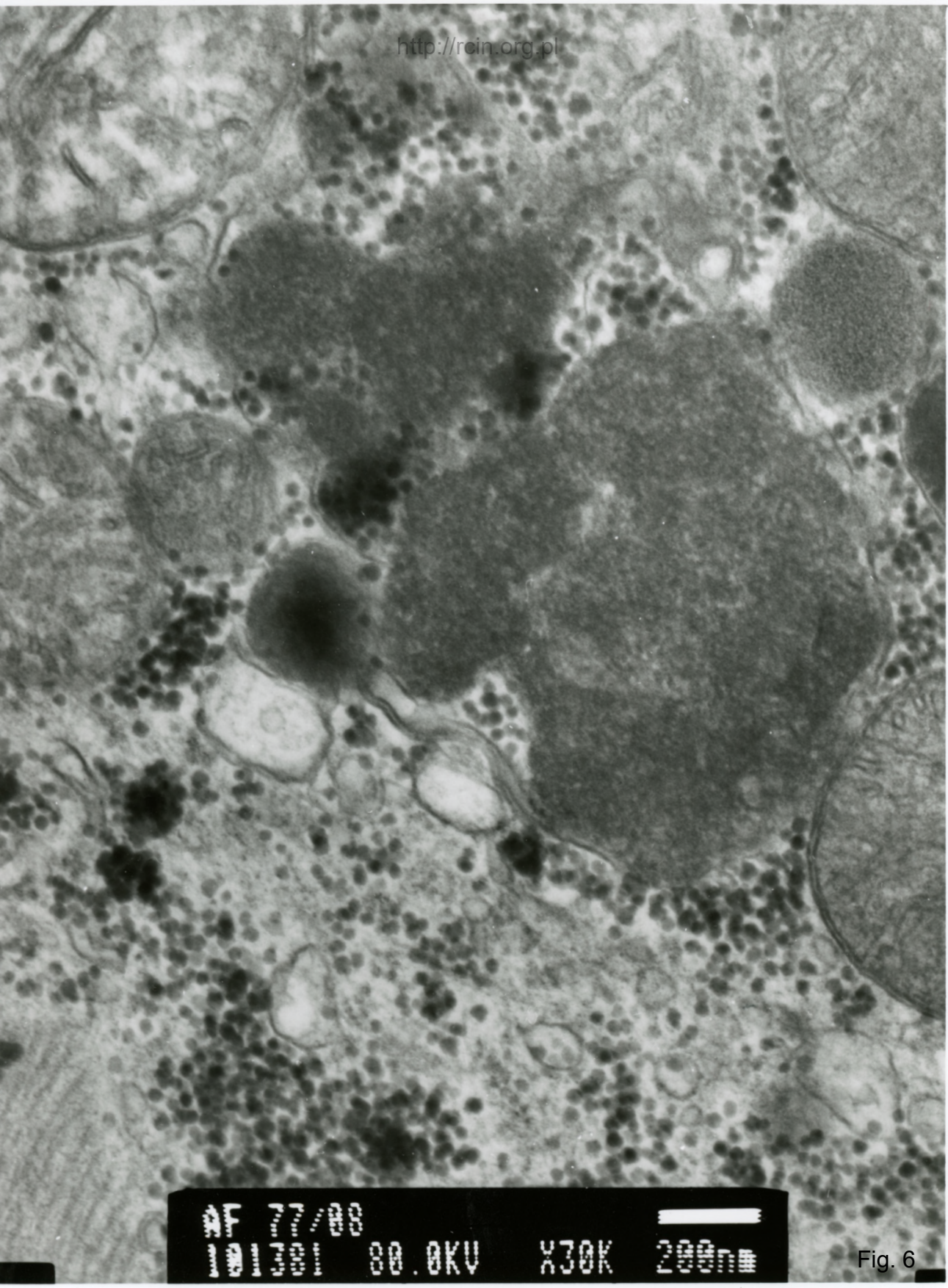
101040

80.0KV

X10K

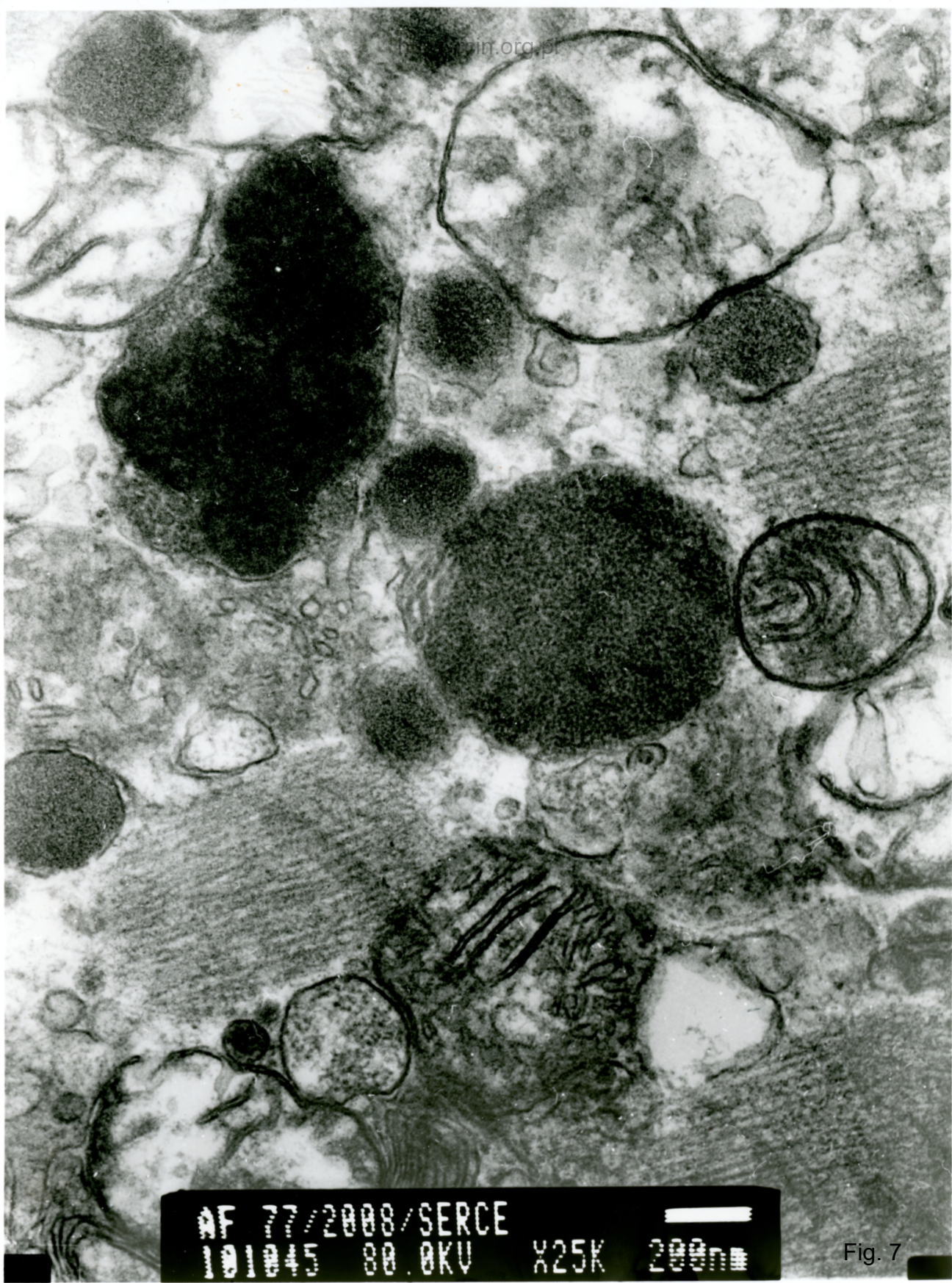
500nm

Fig. 5



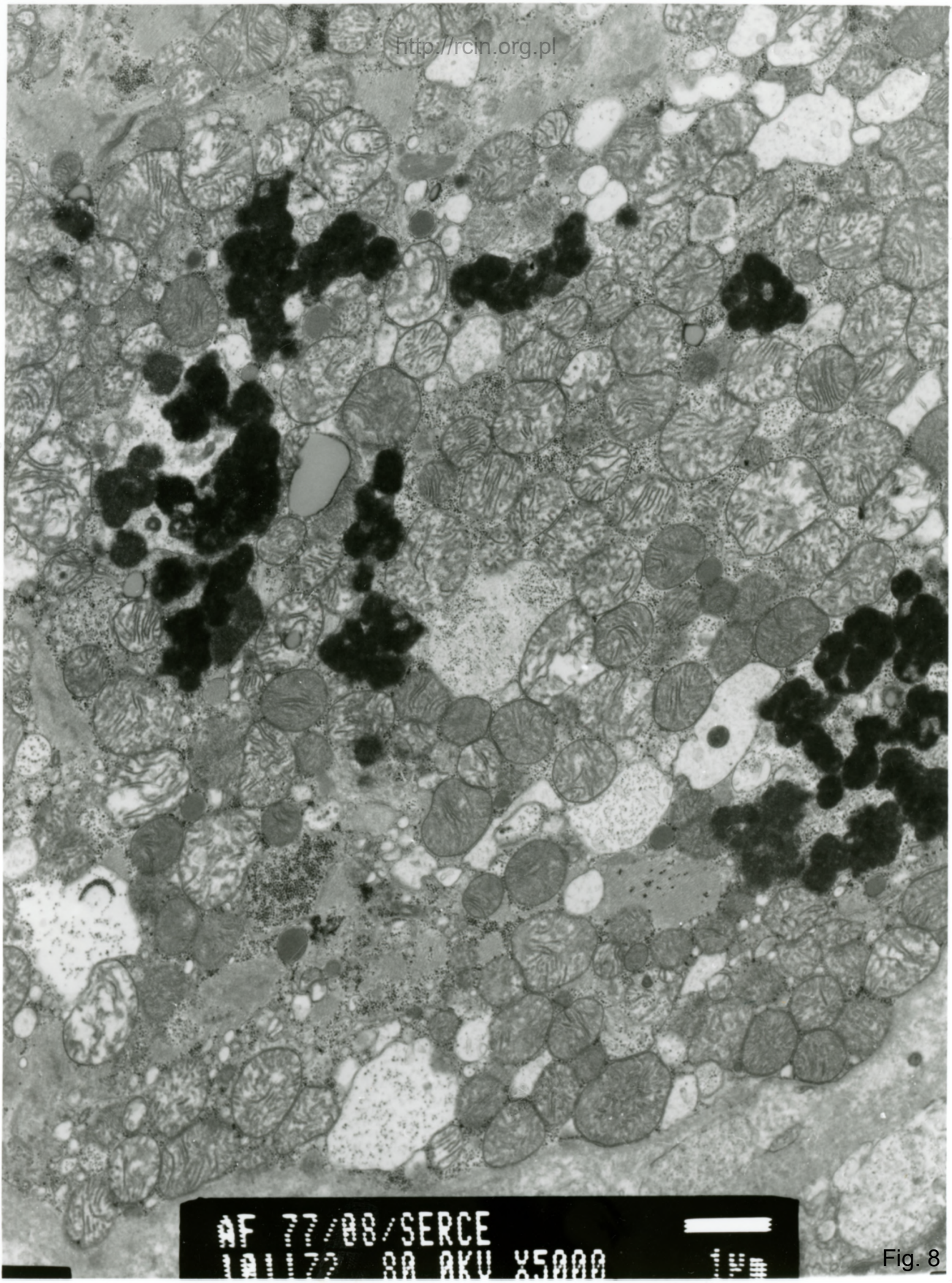
AF 77/88
101001 80.0KV X30K 200nm

Fig. 6



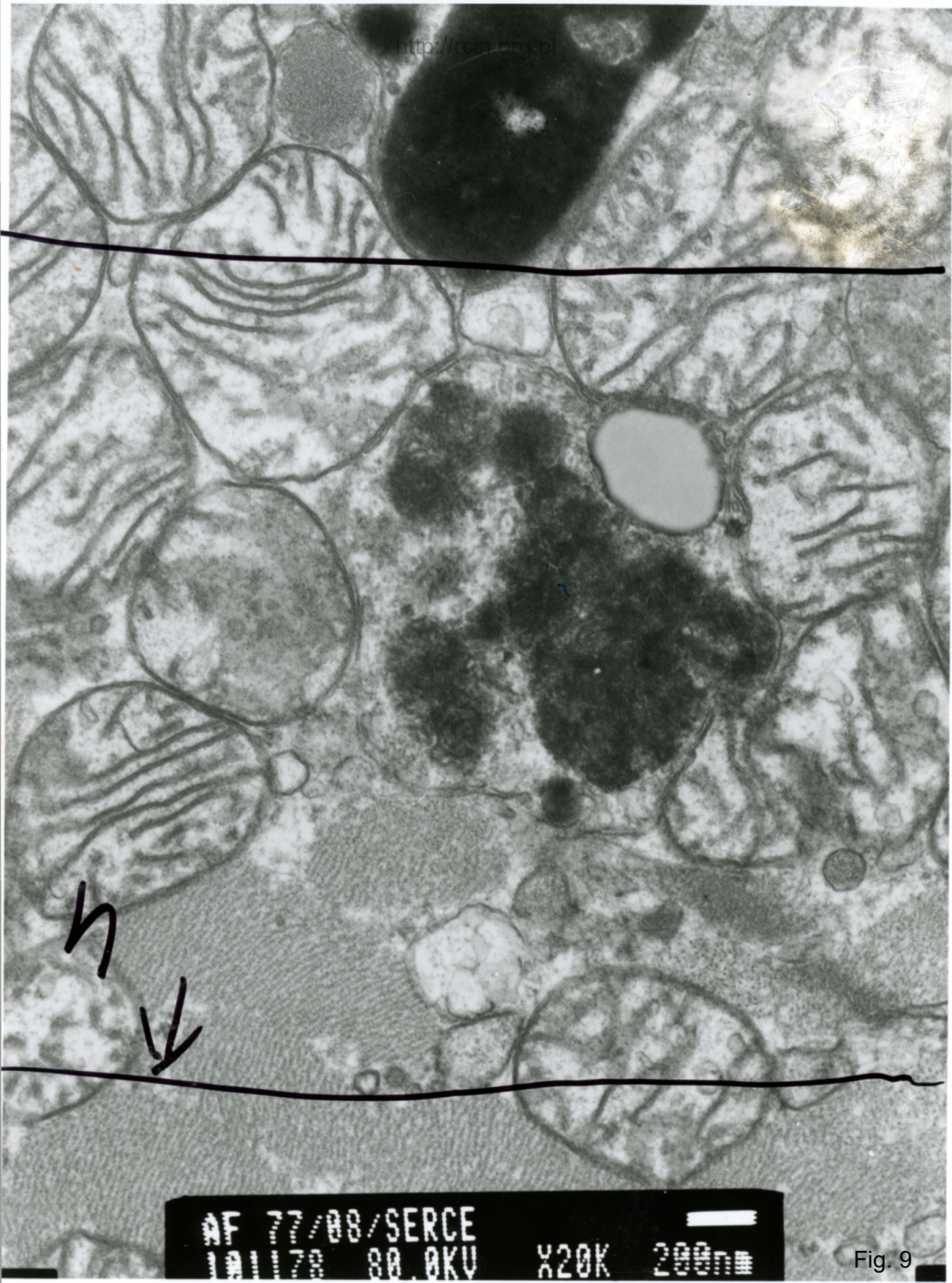
AF 77/2008/SERCE
101045 80.0KV X25K 200nm

Fig. 7



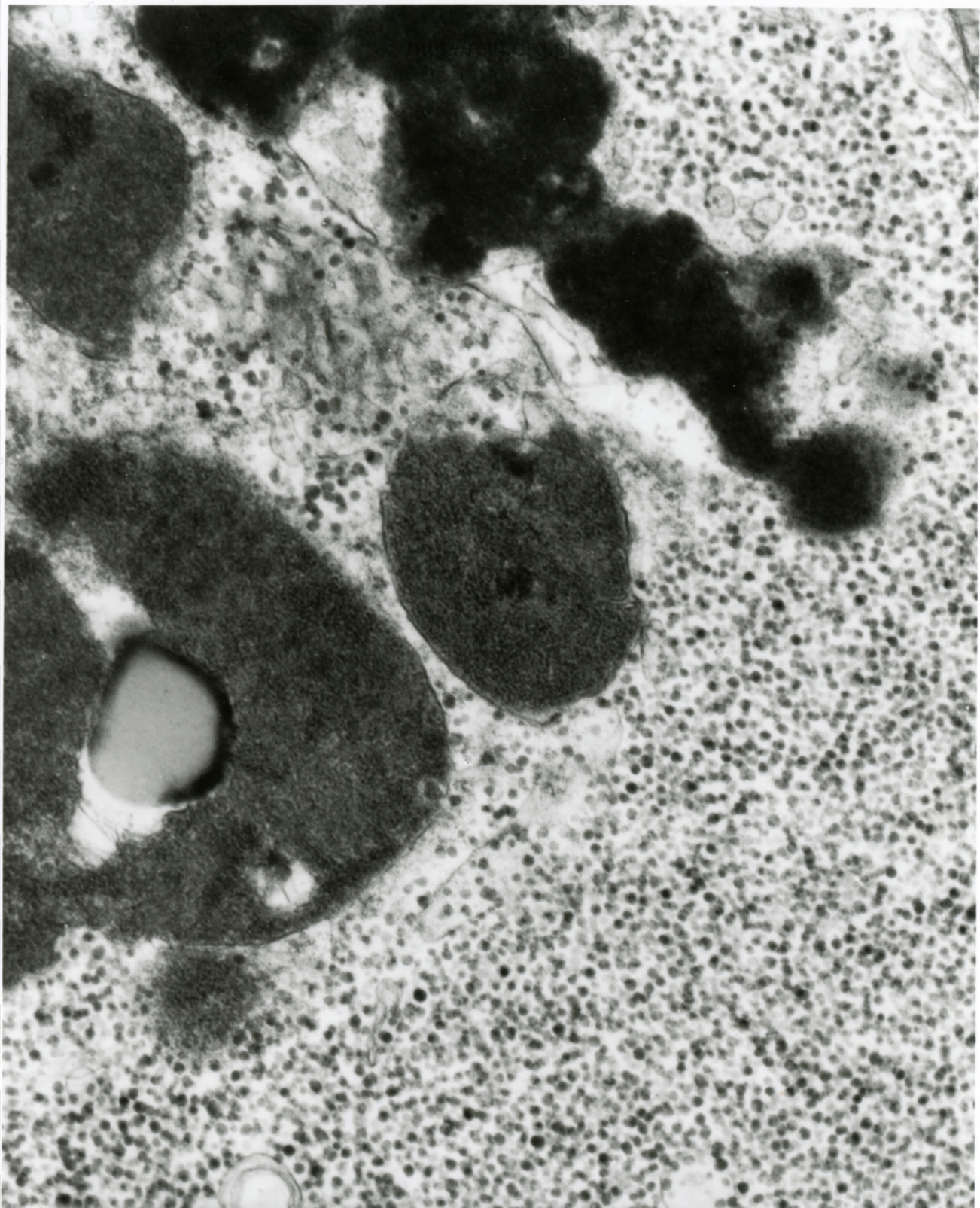
AF 77/08/SERCE
101172 80 AKU X5000

Fig. 8



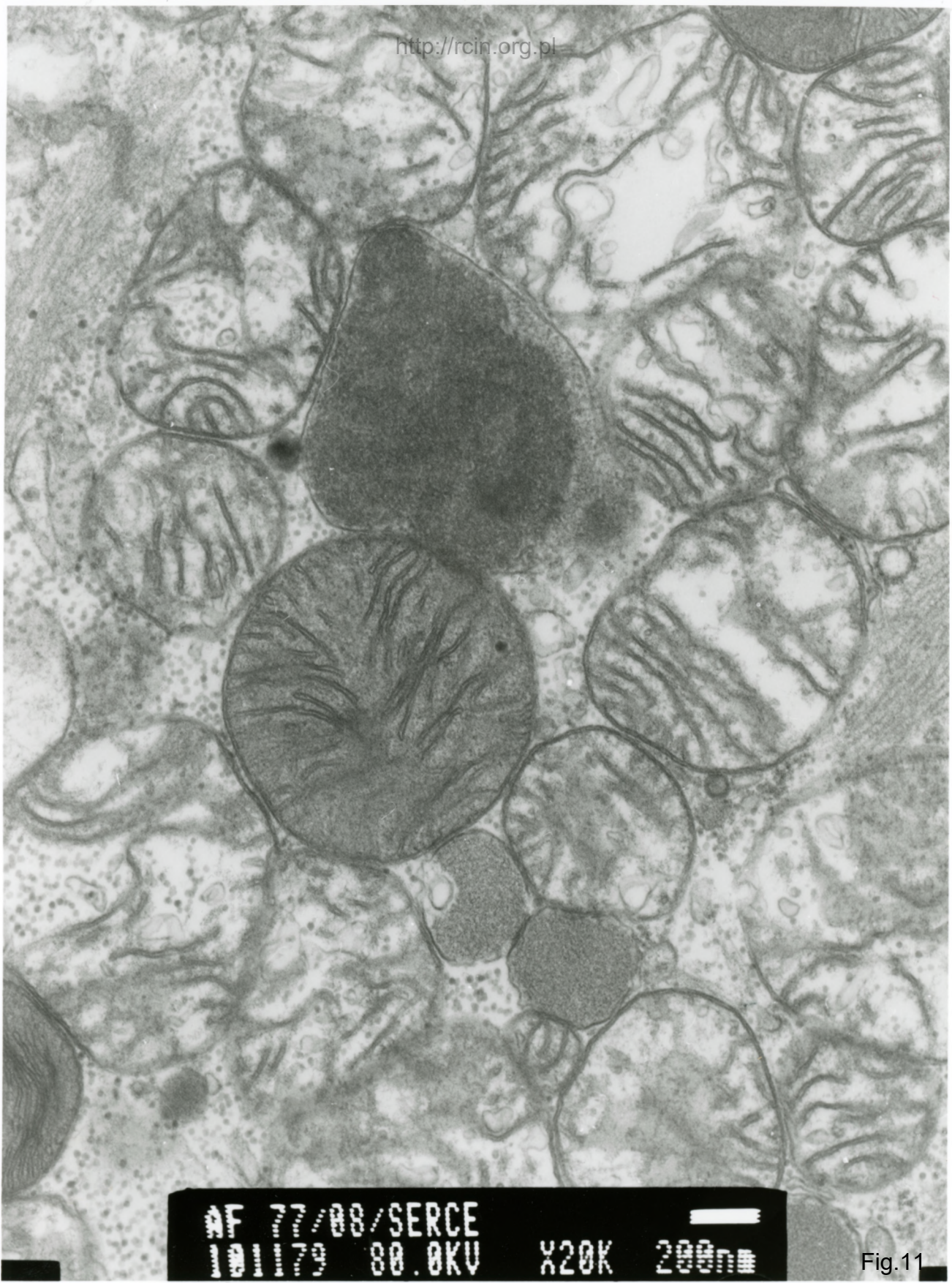
AF 77/88/SERCE
10/1/78 80.0KV X20K 200nm

Fig. 9



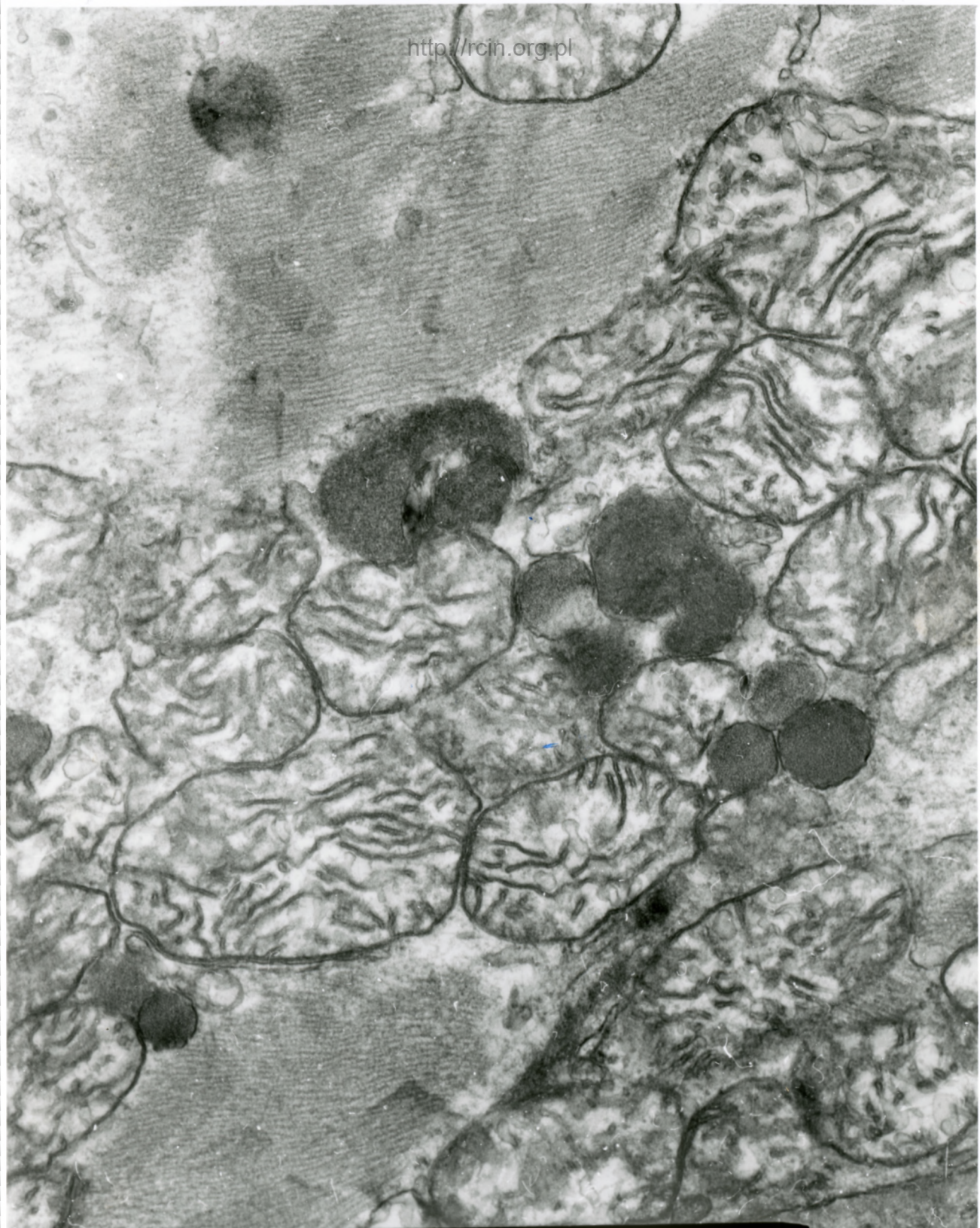
AF 77/08/B/SERCE
101250 80.0KV X20K 200nm

Fig.10



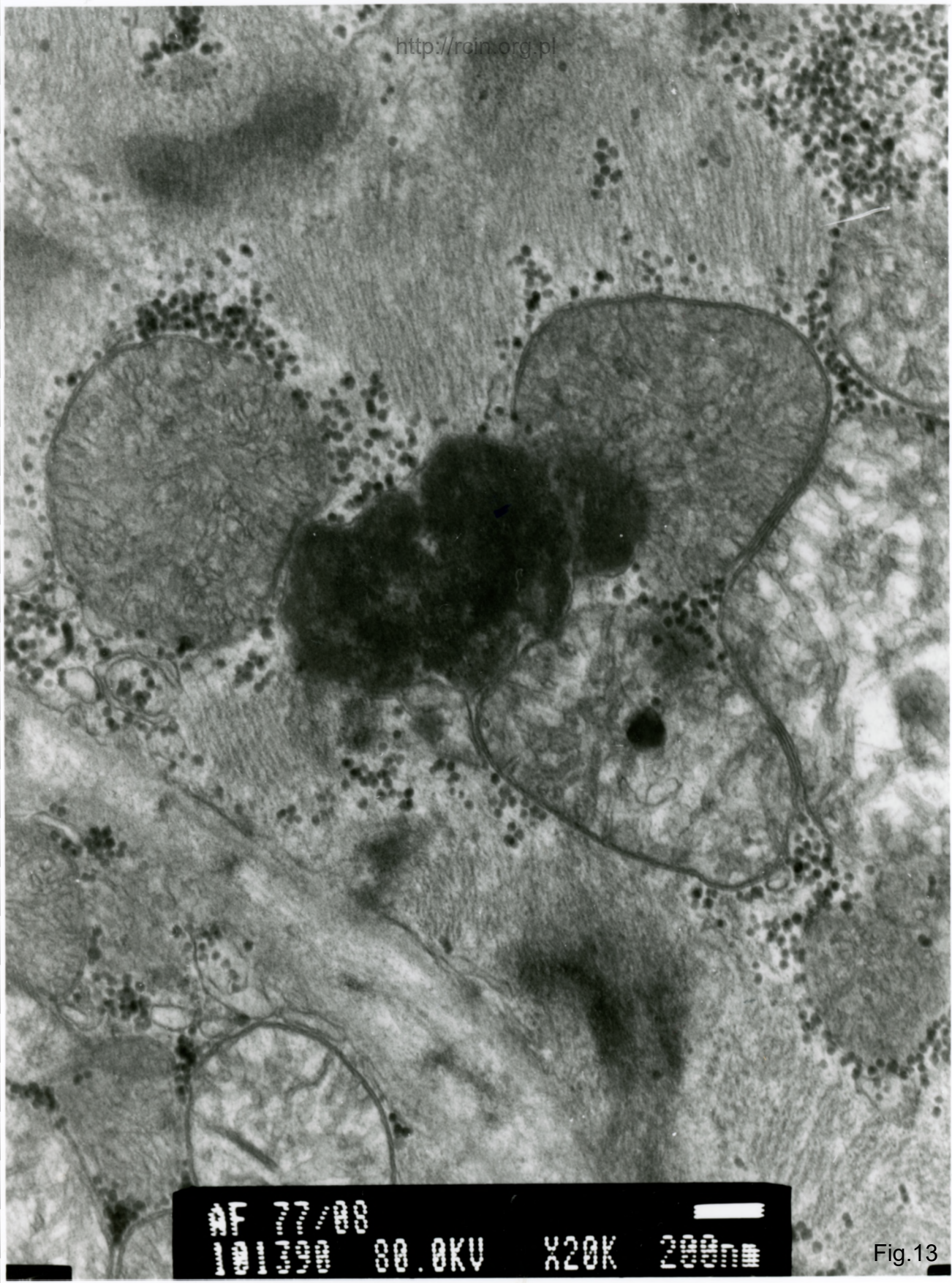
AF 77/88/SERCE
101179 80.0KV X20K 200nm

Fig.11



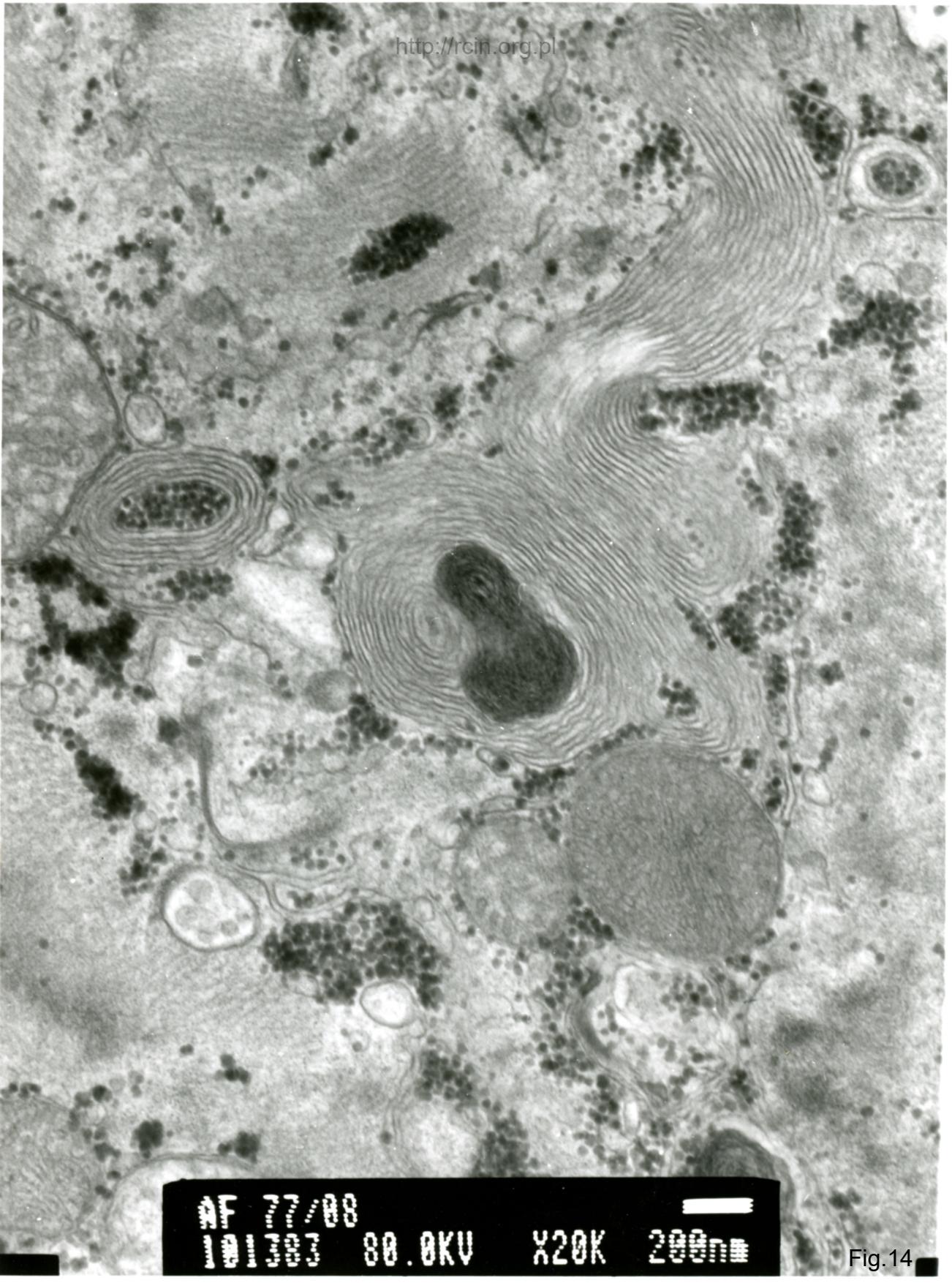
AF 77/2008/SERCE
101076 80 AKU X15K 5000

Fig.12



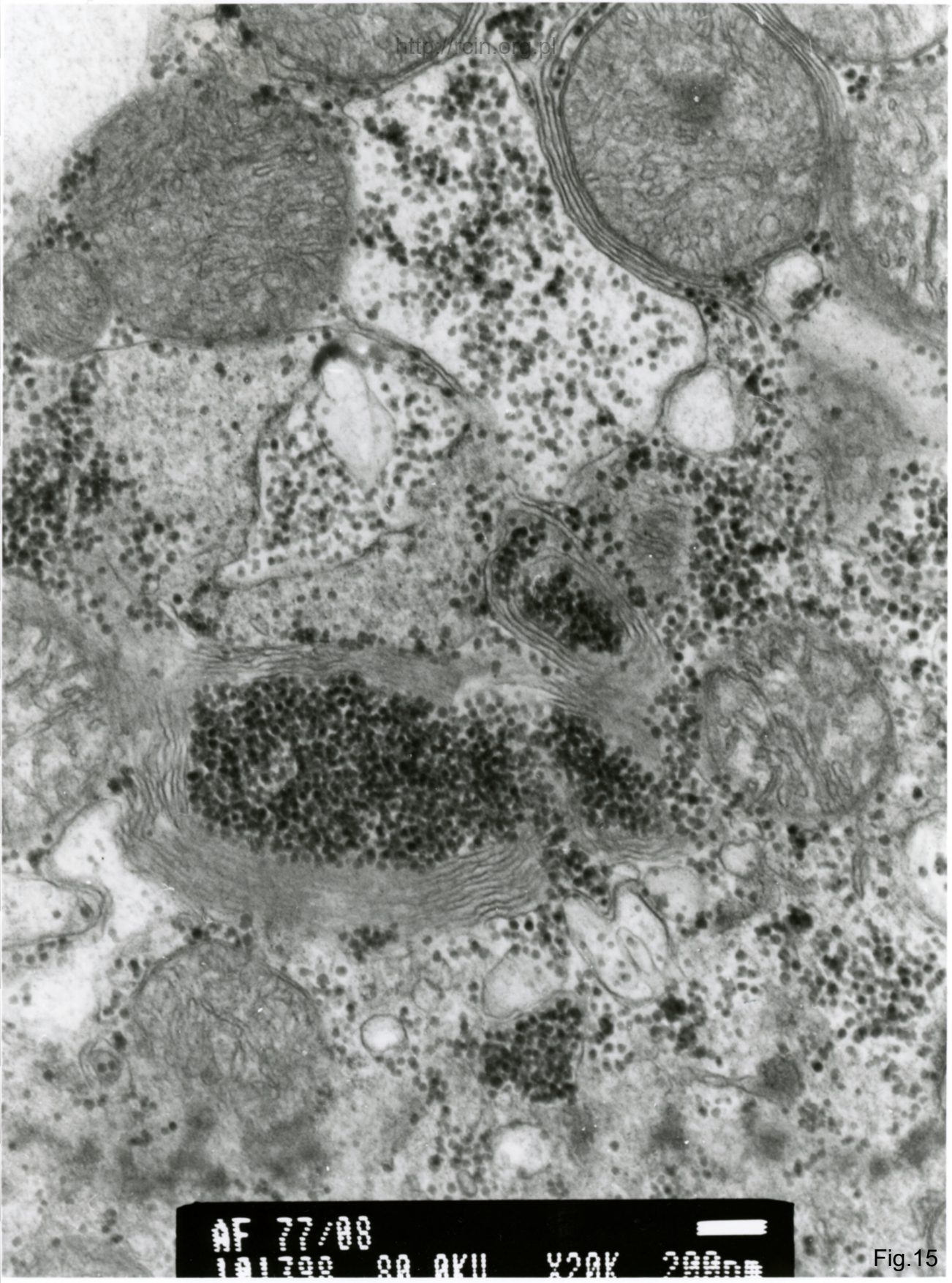
AF 77/08
101000 80.0KV X20K 200nm

Fig.13



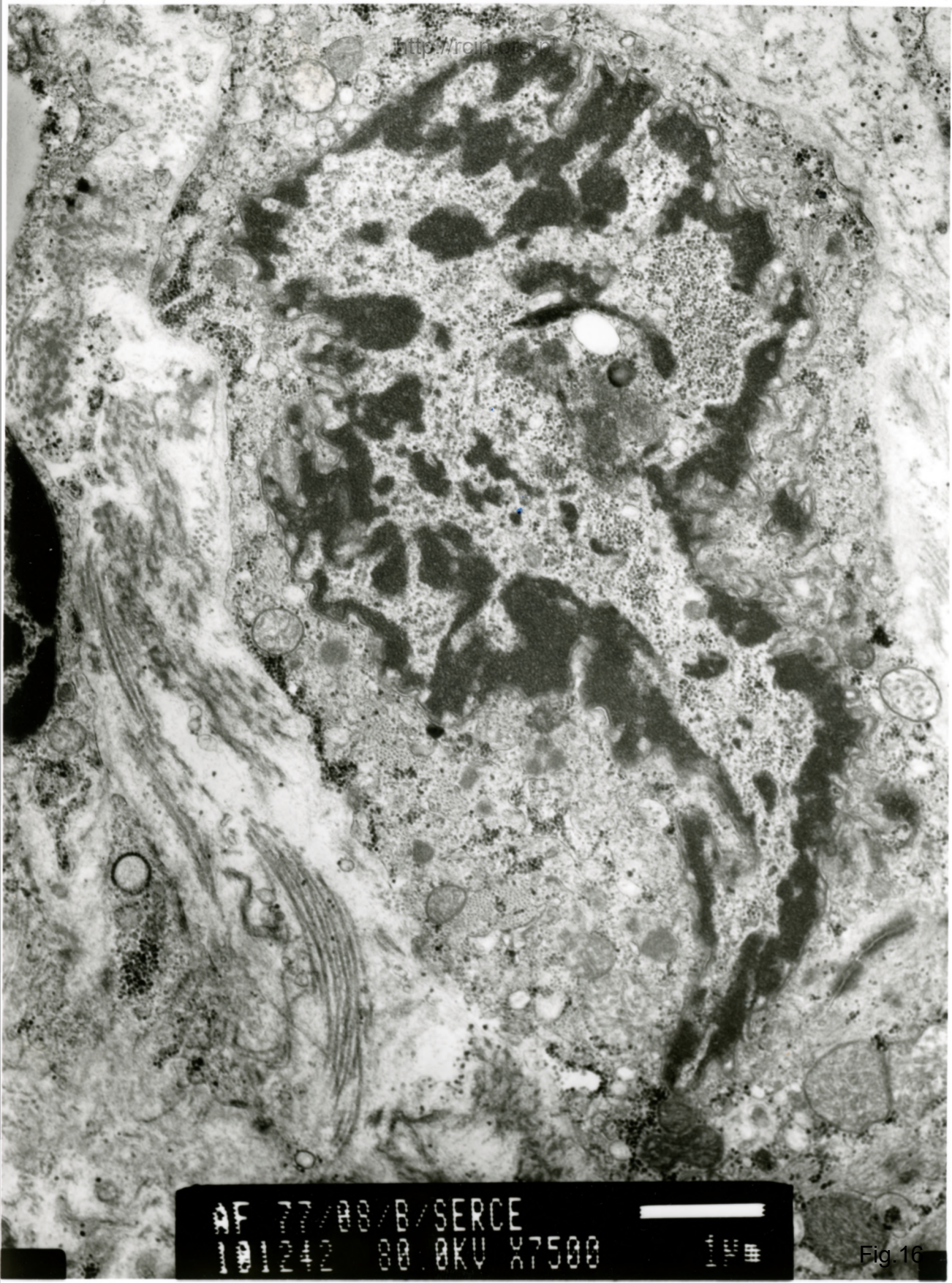
AF 77/88
101303 80.0KV X20K 200nm

Fig.14

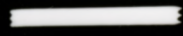


AF 77/88
1A1300 88 AKU X20K 200nm

Fig.15

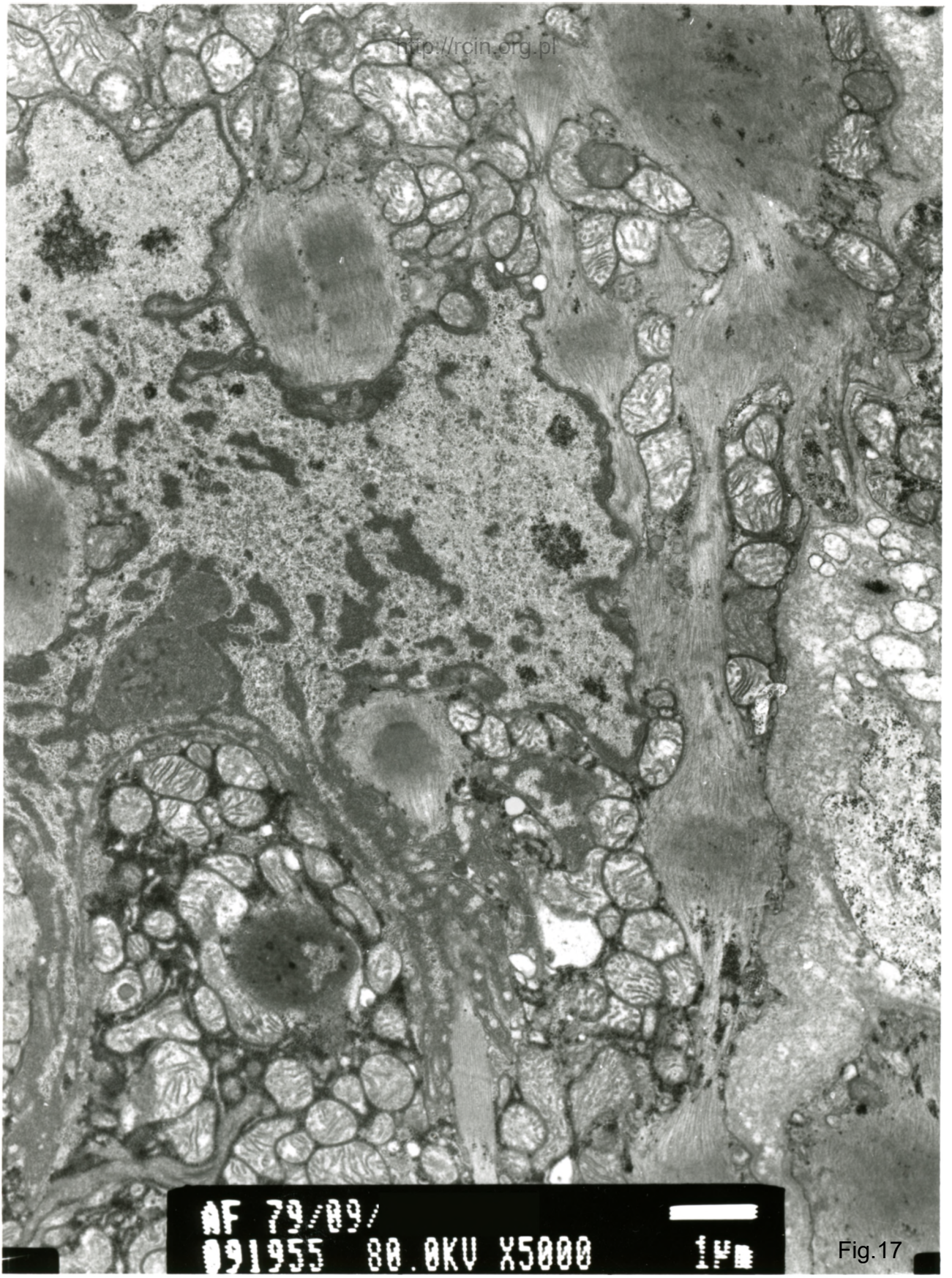


AF 77/08/B/SERCE
101242 80.0KV X7500



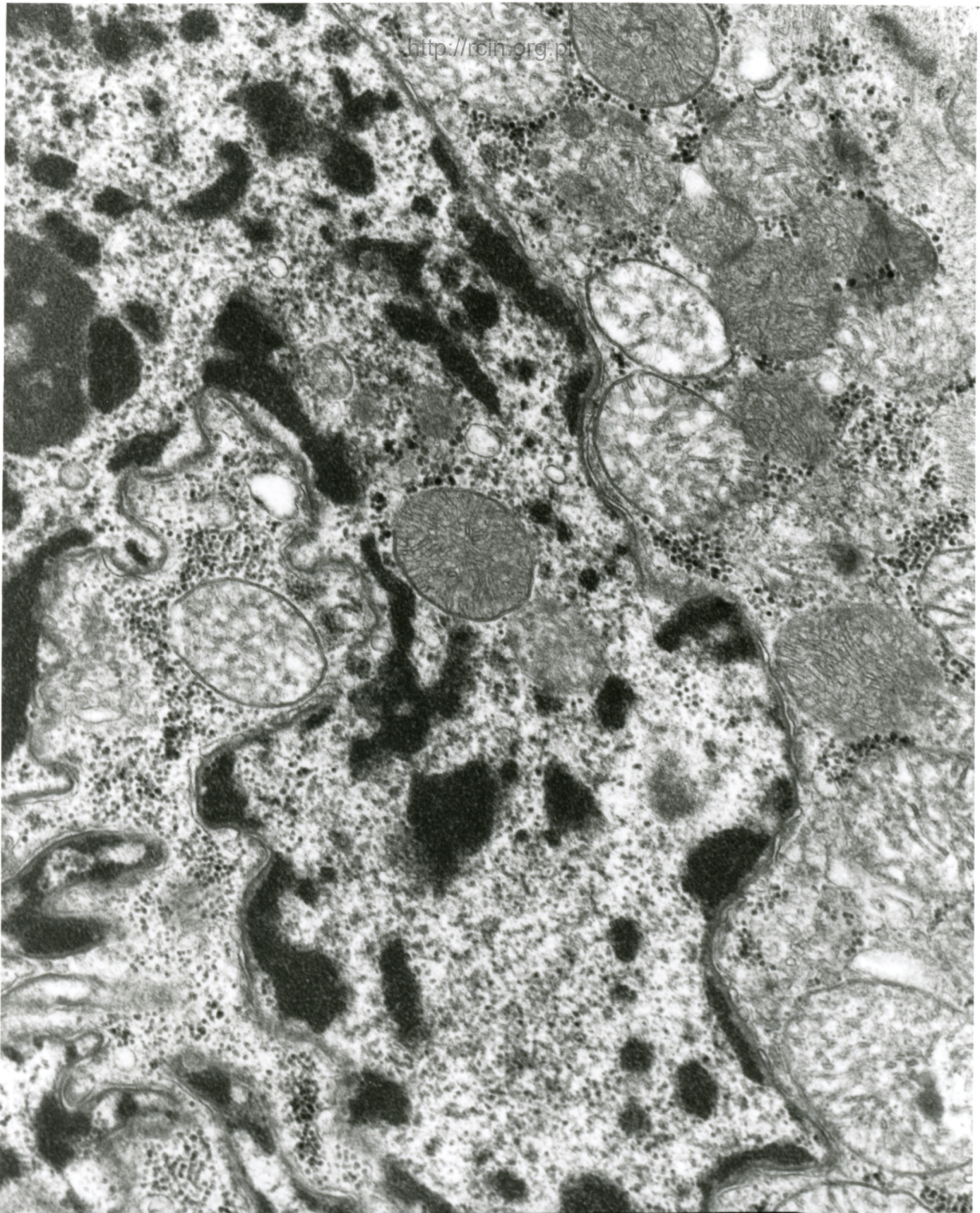
1µm

Fig.16



AF 79/09/
091955 80.0KV X5000 1µm

Fig.17



AF 77/08/B/SERCE
101246 80.0KV X12K 500nm

Fig.18